

Particularidades do Problema de Partição na Convexidade P_3 em Grafos com *Treewidth* Limitada

Lorrana F. de Castro¹, Rodolfo A. de Oliveira¹, Fábio Protti²

¹Instituto do Noroeste Fluminense / Universidade Federal Fluminense – (INF/UFF)
Av. João Jasbick, S/N – Aeroporto – S. A. Pádua/RJ – Brasil.

²Instituto de Computação / Universidade Federal Fluminense – (IC/UFF)
Gal. Milton Tavares de Souza, S/N – S. Domingos – Niterói/RJ – Brasil.

{lorranafilemes,rodolfooliveira}@id.uff.br,fabio@ic.uff.br

Abstract. *In this work, we present an algorithm that solves partitioning problems on P_3 convexity for graphs with limited treewidth. Given a graph $G = (V, E)$ and $X \subseteq V$, we say that X is a p_3 -convex set if any vertex with at least two neighbors in X is also an element of it. The collection of all p_3 -convex sets contained in V constitutes the P_3 convexity of G . The p -partition problem on P_3 convexity consists of partitioning V into p non-empty and pairwise disjoint p_3 -convex sets, for an integer $p \geq 2$. Despite the NP-completeness even for split graphs, we show that such a partitioning problem is solvable in linear time when the treewidth of a graph and p are both limited.*

Resumo. *Neste trabalho, apresentamos um algoritmo que resolve o problema de partição na convexidade P_3 quando restrito a grafos com treewidth limitada. Dados um grafo $G = (V, E)$ e $X \subseteq V$, dizemos que X é um conjunto p_3 -convexo se todo vértice com pelo menos dois vizinhos em X também pertence a X . A coleção de todos os subconjuntos p_3 -convexos de V constitui a convexidade P_3 em G . O problema da p -partição na convexidade P_3 consiste em particionar V em p conjuntos p_3 -convexos não-vazios e mutualmente disjuntos, para um inteiro $p \geq 2$. Apesar da NP-completude mesmo para grafos split, mostramos que o problema é resolvido em tempo linear para grafos com treewidth e o número p limitados.*

1. Introdução

Da ideia de contágio por infecção descrita em [Centeno et al. 2009] surgiu o conceito de intervalo que compõe a convexidade P_3 . Basicamente, a ideia consistia de uma região contendo quadras infectadas, onde uma quadra não infectada se tornaria infectada caso fosse adjacente a pelo menos duas que fossem. Assim, fica clara a regra de disseminação da enfermidade. Assim, dado um grafo com conjunto de vértices V , um conjunto $X \subseteq V$ é chamado p_3 -convexo se qualquer vértice de V com pelo menos dois vizinhos em X também pertence a X . Além disso, já em [Centeno et al. 2010], há questionamentos sobre partições na convexidade P_3 onde, para um dado inteiro positivo p , somos desafiados a encontrar uma divisão para V em p conjuntos p_3 -convexos. Por trás desse conceito está o interesse de identificar regiões endêmicas, visto que uma infecção numa tal região não atingiria outras. Todavia, este problema foi demonstrado NP-completo, mesmo restrito a grafos *split*. Por esta razão, atacamos o problema considerando aspectos de complexidade

tratável por parâmetro fixo (FPT - “fixed-parameter tractable”) em grafos com *treewidth* limitada.

2. Algumas Formalizações

Considere $G = (V, E)$ um grafo finito, onde V é o conjunto de vértices e E o conjunto de arestas. Denote por $|V| = n$ e $|E| = m$. Para $X \subseteq V$, o subgrafo induzido por X é denotado por $G[X]$. Dado um vértice $u \in V$, defina a **vizinhança de u** por $N(u) = \{v \in V : uv \in E\}$, e a **vizinhança fechada de u** por $N[u] = N(u) \cup \{u\}$. Para $X \subseteq V$, denote $N[X] = \bigcup_{u \in X} N[u]$. O **grau de u** em G é definido como $d(u) = |N(u)|$. Um conjunto $X \subseteq V$ é dito uma **cobertura de vértices** quando toda aresta de G incide em algum vértice de X . Defina $cv(G)$ como a **cardinalidade da menor cobertura de vértices de G** . Um subconjunto de vértices X de V é definido como **p_3 -convexo** se para qualquer vértice $v \in V \setminus X$ temos $|N(v) \cap X| \leq 1$. A **convexidade P_3** relativa a V é a coleção de todos os subconjuntos de V que sejam p_3 -convexos. Dado $X \subseteq V$, o **fecho p_3 -convexo** de X é o menor conjunto p_3 -convexo que contém X . O processo de encontrar o fecho p_3 -convexo para um subconjunto de vértices X pode ser efetuado de forma iterativa, executando o seguinte processo: enquanto houver $v \in V \setminus X$ de modo que $|N(v) \cap X| > 1$, faça $X \leftarrow X \cup \{v\}$. Dado um inteiro positivo $p \geq 2$, uma **p -partição na convexidade P_3** é uma coleção de conjuntos p_3 -convexos $\{X_1, X_2, \dots, X_p\}$ tal que: (i) $X_i \neq \emptyset, \forall 1 \leq i \leq p$; (ii) $X_i \cap X_j = \emptyset, \forall 1 \leq i \neq j \leq p$; e (iii) $\bigcup_{i=1}^p X_i = V$.

Uma fórmula em **Lógica Monádica de Segunda Ordem (LMSO)** é uma fórmula que admite quantificadores (\forall ou \exists) em relações unárias, usualmente na relação de pertinência ou inclusão. As relações não quantificadas podem ser variáveis de testes lógicos sobre alguma propriedade relacionada ao problema ao qual se refere a fórmula, sendo imprescindível que sejam verificáveis em tempo $O(1)$ para o tipo de algoritmo de objetivos. Portanto, alguns problemas em grafos podem ser reescritos como fórmulas em LMSO. Por exemplo, $X \subseteq V : \forall x, y \in V (\neg adj(x, y) \vee x \in X \vee y \in X)$ é uma fórmula em LMSO que verifica se X é uma cobertura de vértices, onde $adj(x, y)$ é um teste lógico que verifica se x e y são adjacentes em G , o que pode ser verificável em $O(1)$ caso a matriz de adjacência seja conhecida.

A fórmula do exemplo anterior é chamada de LMSO de **classificação 1 (LMSO₁)** por haver apenas quantificação sobre o conjunto de vértices do grafo. Quando habilitamos também a quantificação sobre conjunto de arestas chamamos de **classificação 2 (LMSO₂)**. Muitos o problemas em grafos podem ser escritos em LMSO₂ mas não em LMSO₁, como por exemplo o problema do ciclo hamiltoniano. Agora vejamos a seguinte definição:

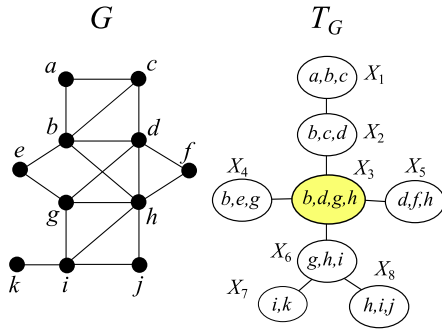
Definição 2.1 *Uma **árvore de decomposição** de um grafo $G = (V, E)$ é um par $(\mathcal{X}, \mathcal{T})$, onde $\mathcal{X} = \{X_1, \dots, X_r\}$ com $X_i \subseteq V$ e \mathcal{T} é uma árvore cujos vértices estão representados em \mathcal{X} de modo que: (i) $\bigcup_{i=1}^r X_i = V$, (ii) se $uv \in E$, então $u, v \in X_i$, para algum $1 \leq i \leq r$ (i.e., toda aresta possui seus extremos em algum membro de \mathcal{X}) e (iii) se $v \in X_i$ e $v \in X_j$, então $v \in X_{j'}$ para todos j' no caminho de X_i a X_j em \mathcal{T} (i.e., os membros de \mathcal{X} contendo v induzem uma subárvore de \mathcal{T}).*

Cada conjunto X_i é chamado de **bag**. A **largura** de uma árvore de decomposição é o tamanho de sua maior *bag* menos uma unidade, e a **treewidth** de um grafo é a menor largura dentre todas as árvores de decomposições do mesmo. Defina $tw(G)$ como o valor da *treewidth* de G . Para dado grafo G , denotaremos por T_G uma árvore de decomposição

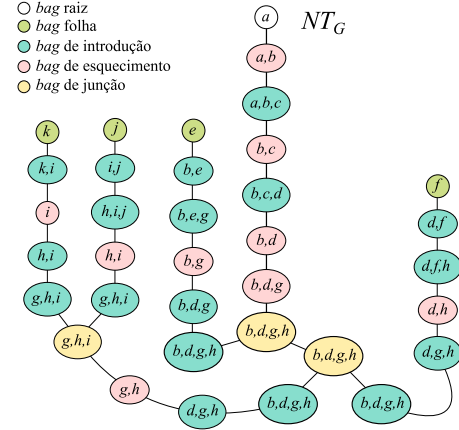
para G . Note que o número de arestas de G é $O(kn)$, onde $tw(G) = k$. Na Figura 1(a), temos um exemplo de um grafo G e uma árvore T_G .

Uma propriedade interessante conhecida como Teorema de Courcelle é que:

Teorema 2.1 [Courcelle 1990] *Assuma que φ seja uma fórmula em $LMSO_2$ e G um grafo com n vértices. Além disso, suponha que uma árvore T_G com largura k também seja fornecida. Então existe um algoritmo que verifica se φ satisfaz G em tempo $f(\|\varphi\|, k) \cdot n$, para alguma função f .*



(a) Um grafo G com $tw(G) = 3$ e uma árvore T_G , onde X_3 é a maior *bag* e $|X_3| = 4$.



(b) Uma árvore de decomposição legal NT_G .

4. **Figura 1. Exemplo de árvore de decomposição e árvore de decomposição legal.**

Uma outra definição importante sobre árvores de decomposição é:

Definição 2.2 *Uma árvore de decomposição legal (onde, aqui, “legal” tem o sentido do termo original “nice” da literatura) é uma árvore de decomposição $(\mathcal{X}, \mathcal{T})$ onde $\mathcal{X} = \{X_1, \dots, X_r\}$, \mathcal{T} é uma árvore enraizada e:* (i) *toda bag de \mathcal{T} tem no máximo dois filhos,* (ii) *se uma bag X_i tem dois filhos $X_j, X_{j'}$, então $X_i = X_j = X_{j'}$,* (iii) *se uma bag X_i tem uma filho X_j , então ou $|X_i| = |X_j| + 1$ e $X_j \subseteq X_i$ (dizemos X_i introduz v , se $X_i \setminus X_j = \{v\}$), ou $|X_i| = |X_j| - 1$ e $X_j \subseteq X_i$ (dizemos X_i esquece v , se $X_j \setminus X_i = \{v\}$).*

Para simplificar as nomenclaturas das *bags*, denominamos **bag de introdução (esquecimento)** toda *bag* que introduz (esquece) algum vértice na árvore de decomposição $(\mathcal{X}, \mathcal{T})$ no sentido *bottom-up*. Ademais, denominamos **bag de junção** toda *bag* com dois filhos e **bag folha** toda *bag* sem filho. Para G , denote NT_G uma árvore de decomposição legal para G . Assim, para o mesmo grafo da Figura 1(a), apresentamos NT_G na Figura 1(b).

Proposição 2.1 [Cygan et al. 2015] *Se G admite uma árvore de decomposição com largura no máximo k , então G também admite uma árvore de decomposição legal de largura no máximo k . Ademais, dada T_G com largura máxima k , podemos encontrar NT_G em tempo $O(k^2 \max\{n, |\mathcal{X}|\})$ cujo número de bags é $O(kn)$.*

3. Resultados

Primeiramente, mostramos a conversão do problema da p -partição na convexidade P_3 em $LMSO_2$. Para melhor entendimento, dividimos a fórmula em partes F_i :

F_1 : p conjuntos como variáveis livres: $X_1, X_2, \dots, X_p \subseteq V$;

F_2 : os conjuntos são não-vazios: $\bigwedge_{i=1}^p \exists x \in X_i$;

F_3 : qualquer vértice de V está em alguma partição e os conjuntos são mutuamente disjuntos: $\forall x \in V \left(\bigvee_{i=1}^p (x \in X_i) \wedge \bigwedge_{i \neq j} (\neg x \in X_i \vee \neg x \in X_j) \right)$

F_4 : os conjuntos são p_3 -convexos:

$$\forall x \in V \left(\bigwedge_{i \neq j} (x \in X_i \Rightarrow \neg(y, z \in X_j \Rightarrow \text{adj}(x, y) \wedge \text{adj}(x, z))) \right)$$

Assim, a expressão fica:

$$F_1 : F_2 \wedge F_3 \wedge F_4$$

Assim, podemos garantir pelo Teorema de Courcelle que existe um algoritmo que resolve o problema de p -partição na convexidade P_3 em tempo $f(\|\varphi\|, k) \cdot n$, para uma função f . Note que, entretanto, f também está em função de p , pois o comprimento de φ depende de p . Vale ressaltar que o teorema nos garante que existe um algoritmo, mas não nos exhibe claramente qual é este algoritmo. Assim, desenvolvemos um algoritmo \mathcal{A} produzindo os seguintes resultados:

Teorema 3.1 *O Algoritmo \mathcal{A} resolve o problema da p -partição na convexidade P_3 em grafos com $tw(G) = k$ com no máximo $O(2^{2k+3} \cdot p^{k+2p+2}) \cdot n$ passos.*

Corolário 3.1 *O Algoritmo \mathcal{A} resolve em tempo linear o problema da p -partição na convexidade P_3 em grafos com $tw(G) = k$ e p ambos fixados.*

4. Conclusão

O Algoritmo \mathcal{A} traz resultados interessantes para o problema quando aplicado a grafos *split*. Como mencionado, o problema da p -partição na convexidade P_3 é NP-completo para tal classe de grafos. Contudo, quando p é fixado, temos que existem pelo menos $p - 1$ vértices no conjunto independente de grau máximo 1 ou a clique do grafo não possui mais do que p vértices, implicando sua *treewidth* no máximo $p - 1$. Logo, podemos resolver em tempo linear o problema em grafos *split* para p fixado.

Outra classe interessante em que o Algoritmo \mathcal{A} tem boa performance é aquela formada por grafos cuja cobertura de vértices é limitada por k , pois $tw(G) \leq cv(G)$ [Fiala et al. 2011]. Logo \mathcal{A} resolve o problema da p -partição na convexidade P_3 quando o tamanho da cobertura de vértices do grafo é limitado.

Referências

- Centeno, C. C., Dantas, S., Dourado, M. C., Rautenbach, D., e Szwarcfiter, J. L. (2010). Convex Partitions of Graphs induced by Paths of Order Three. *Discrete Mathematics and Theoretical Computer Science*, 12(5):175–184.
- Centeno, C. C., Dourado, M. C., e Szwarcfiter, J. L. (2009). On the convexity of paths of length two in undirected graphs. *Electronic Notes in Discrete Mathematics*, 32:11 – 18. DIMAP Workshop on Algorithmic Graph Theory.
- Courcelle, B. (1990). The monadic second-order logic of graphs. i. recognizable sets of finite graphs. *Inf. Comput.*, 85(1):12–75.
- Cygan, M., Fomin, F. V., Kowalik, L., Lokshantov, D., Marx, D., Pilipczuk, M., Pilipczuk, M., e Saurabh, S. (2015). *Parameterized Algorithms*. Springer Publishing Company, Incorporated, 1st edition.
- Fiala, J., Golovach, P. A., e Kratochvíl, J. (2011). Parameterized complexity of coloring problems: Treewidth versus vertex cover. *Theoretical Computer Science*, 412(23):2513 – 2523.